

くり込み群と有効理論

寺尾 治彦 (金沢大学)

1日目 Wilson くり込み群の摂動的様相

2日目 Wilson くり込み群の非摂動的様相

参考：夏の学校講義録

1. 「Wilson流のくり込み群」大川正典
2. 「非摂動論的くり込み群」青木健一(1996)

2日目 Wilson くり込み群の非摂動的様相

1. $4 - \epsilon$ 次元スカラー理論と臨界現象
2. 臨界指数とWilson くり込み群
3. 3次元スカラー理論
4. 4-fermi相互作用とカイラル対称性の自発的破れ
5. ゲージ理論のカイラル相構造
6. Wilson くり込み群とdynamical mass
7. 2日目のまとめ

今日の要点

$$\mathcal{L} \sim g_i \mathcal{O}_i \quad \left\{ \begin{array}{l} \dim[g_i] > 0 \quad \dots \text{ relevant} \\ \dim[g_i] = 0 \quad \dots \text{ marginal} \\ \dim[g_i] < 0 \quad \dots \text{ irrelevant} \end{array} \right.$$

… 摂動論 (weak coupling) の話

- 強結合 \Rightarrow 大きな異常次元

$$\dim[g_i] = (\text{正準次元}) + (\text{異常次元})$$

relevant \longrightarrow irrelevant \Rightarrow 固定点 (fixed point)
irrelevant \longrightarrow relevant \Rightarrow 臨界現象、臨界指数

- Wilson くり込み群 \Rightarrow 非摂動的計算 (特に臨界現象)

1. $4 - \epsilon$ 次元スカラー理論と臨界現象

(A) RG flow の構造 (臨界面、固定点)

スカラー場の理論空間 (パラメータ空間) を次の3次元に制限 ($\rho = \phi^2/2$)

$$S_{\text{eff}}[\phi] = \int d^d x \frac{1}{2} (\partial_\mu \phi)^2 + a_1 \rho + \frac{1}{2} a_2 \rho^2 + \frac{1}{3!} a_3 \rho^3$$

$d = 4 - \epsilon$ の ERG ($A_d = A_4 = 1/8\pi^2$):

$$\begin{aligned} \dot{a}_1 &= 2a_1 + \frac{A_4}{2} \frac{3a_2}{1+a_1} \\ \dot{a}_2 &= \epsilon a_2 + \frac{A_4}{2} \left[-\frac{9a_2^2}{(1+a_1)^2} + \frac{10a_3}{1+a_1} \right] \\ \dot{a}_3 &= -2a_3 + \frac{A_4}{2} \left[\frac{27a_2^3}{(1+a_1)^3} - \frac{45a_2 a_3}{(1+a_1)^2} \right] \end{aligned}$$

Fixed point:

$$\dot{a}_i = -\beta_i[a] = 0 \quad \Rightarrow \quad \text{スケール不変}$$

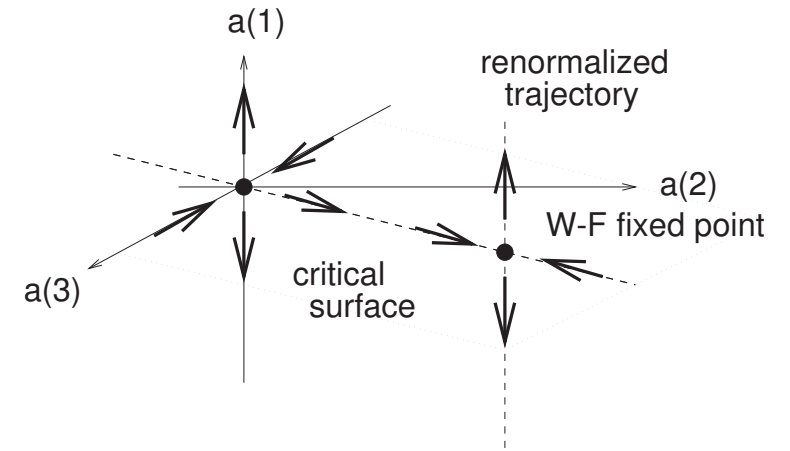
$$(a_1^*, a_2^*, a_3^*) = (0, 0, 0) \quad : \text{trivial (gaussian) fixed point}$$

$$= \left(-\frac{1}{6}\epsilon, \frac{8\pi^2}{9}\epsilon, O(\epsilon^3) \right) : \text{Wilson-Fisher fixed point}$$

Fixed pointの近傍での RG flowを見る ($a_i = a_i^* + \delta a_i$)

1. Trivial fixed point :

$$\begin{pmatrix} \dot{\delta a}_1 \\ \dot{\delta a}_2 \end{pmatrix} = \begin{pmatrix} 2 & 3A_4/2 \\ 0 & \epsilon \end{pmatrix} \begin{pmatrix} \delta a_1 \\ \delta a_2 \end{pmatrix}$$



2. Wilson-Fisher fixed point :

$$\begin{pmatrix} \dot{\delta a}_1 \\ \dot{\delta a}_2 \end{pmatrix} = \begin{pmatrix} 2 - (3A_4/2)a_2^* & 3A_4/2 \\ 0 & \epsilon - 9A_4a_2^* \end{pmatrix} \begin{pmatrix} \delta a_1 \\ \delta a_2 \end{pmatrix} = \begin{pmatrix} 2 - \epsilon/3 & 3A_4/2 \\ 0 & -\epsilon \end{pmatrix} \begin{pmatrix} \delta a_1 \\ \delta a_2 \end{pmatrix}$$

Fixed point での $\dim[a_i]$:

固有ベクトル	Trivial F.P.	W-F F.P.
$u_1 = (1, 0, 0)$	2 : relevant	$2 - \epsilon/3$: relevant
$u_2 = (-3A_4/2, 1, 0)$	ϵ : relevant	$-\epsilon$: irrelevant
$u_3 = (0, 0, 1)$	-2 : irrelevant	-2 : irrelevant

(B) Non-trivial fixed point と 異常次元

- Fixed point の存在 ($\beta_i = 0$) :
(canonical scaling) と (量子補正) のつり合いが起こるところ
- 異常次元 ($\gamma_2 = -2\epsilon$) :
 a_2 : relevant \longrightarrow irrelevant 異常次元が正準次元に勝る
- Renormalized trajectory (1次元) :
相関関数は $a_1(t)$ のみで決定される (理論のパラメータの減少)
- 臨界面 (massless 理論 Note : $m^2 = a_1\Lambda^2 \rightarrow 0$ as $\Lambda^2 \rightarrow 0$) :
 Z_2 対称性の相境界 ($a_1(t) \rightarrow \pm\infty$)
- 異常次元 ($\gamma_1 = -\epsilon/3$) :
臨界指数 (相関長) $\nu = \frac{1}{2 + \gamma_1} = \frac{1}{2} + \frac{\epsilon}{12} + O(\epsilon^2)$ (後述)

2. 臨界指数とWilson くり込み群

(A) 臨界指数 (critical exponent)

スピン系の古典理論 (Landau 理論)

統計系での平均場近似は Landau 理論の古典系に対応

$$\Gamma[M] = \int d^d x \left\{ \frac{1}{2}(\partial M)^2 + \frac{1}{2}a(T)M^2 + \frac{1}{4!}b(T)M^4 \right\}$$

$$M(x) = \sum_{\Omega} S_i \quad : \text{平均化 (祖視化) した spin variable, } T : \text{温度}$$

$$a(T) = a_0\tau + a_1\tau^2 + \dots$$

$$b(T) = b(T_c) + b_0\tau + \dots, \quad \tau \equiv (T - T_c)/T_c$$

1. 自発磁化 (spontaneous magnetization)

$$\frac{dV(M)}{dM} = 0 \quad \Rightarrow \quad M = \sqrt{-\frac{6a(T)}{b(T)}} = \sqrt{-\frac{6a_0}{b(T_c)}}(-\tau)^{1/2} \quad (\tau < 0)$$

$$M \equiv M_0(-\tau)^{\beta} \quad \Rightarrow \quad \beta = 1/2$$

Note : スピン系 (Ising 模型) との対応 ($K = \beta J = J/k_B T$)

$$\begin{aligned} Z(H) &= \sum_{\{S_i\}} e^{-\mathcal{H}} \quad \mathcal{H} = -K \sum_{\langle i,j \rangle} S_i S_j - H \sum_i S_i \\ &= \sum_{\{S_i\}} \int dM e^{K \sum_{\langle i,j \rangle} S_i S_j + H \sum_i S_i - K \sum_{\langle i,j \rangle} (S_i - M)(S_j - M)} \\ &= \int dM e^{-dKM^2} \sum_{\{S_i\}} e^{\sum_i S_i (H + 2dKM)} \\ &= \int dM e^{-\sum_i dKM^2 + \ln \coth(H + 2dKM)} \end{aligned}$$

平均場近似 (mean field approximation) :

M の揺らぎを無視する \Rightarrow 場 M の “古典論” ($M = \sum_i S_i$)

$$V(M) = dKM^2 - \ln \coth(2dKM) = \frac{1}{2}a(T)M^2 + \frac{1}{4!}b(T)M^4 + \dots$$

係数は温度 T に依る。

2. 磁化率 (magnetic susceptibility)

$$\begin{aligned}\chi &\equiv -\left.\frac{\partial M}{\partial H}\right|_{H=0} \Rightarrow \chi^{-1} = -\frac{\partial H}{\partial M} \\ &= \frac{d^2V(M)}{dM^2} \quad \left(\frac{dV(M)}{dM} = -H\right) : \text{運動方程式} \\ &= a(T) + \frac{1}{2} b(T)M^2 = a_0(-\tau) + \dots \\ \chi &\equiv \chi_0(-\tau)^{-\gamma} \Rightarrow \gamma = 1\end{aligned}$$

3. 相関長 (correlation length)

$$\begin{aligned}\xi &= \frac{1}{(\text{mass})} \quad \left((\text{mass})^2 = V''(M) = a(T) + \frac{1}{2}M^2 \right) \\ &= \begin{cases} a_0\tau^{-1/2} & (\tau > 0) \\ \sqrt{2}a_0(-\tau)^{-1/2} & (\tau < 0) \end{cases} \\ \xi &\equiv \xi_0(\pm\tau)^{-\nu} \Rightarrow \nu = 1/2\end{aligned}$$

4. 異常次元 (anomalous dimension)

$T = T_c$ において

$$G^{(2)}(p) \equiv \frac{1}{p^{2-\eta}} \quad \left(G^{(2)}(x, y) \sim \frac{1}{|x - y|^{d-2+\eta}} \right)$$

$$\eta = 0 \quad (\text{古典論})$$

Ising 模型の臨界指数

exponents	mean field	d=3 Ising	d=2 Ising
β	1/2	0.32	1/8
γ	1	1.24	7/4
ν	1/2	0.63	1
η	0	0.03	1/4

Scaling relations

$$\begin{aligned} \gamma &= \nu(2 - \eta) \\ \beta &= \frac{\nu}{2}(d - 2 + \eta) \end{aligned}$$

Note:

- 古典理論 (平均場近似) の臨界指数は次元に依らず、4次元では良い。
- 独立な臨界指数は2つ。(ν, η)

(B) くり込み群と臨界指数

4 - ϵ 次元スカラー理論の臨界指数：

(1) 臨界指数 ν : 臨界面近傍での相関長 ξ と理論の parameter $a(T) = a_1$ との関係

$$\xi = \frac{1}{(\text{mass})} \equiv \xi_0 (\delta a_1)^{-\nu} \quad (a(\tau) \sim a_0 \tau)$$

Wilson-Fisher fixed point の近傍を通る RG flow 上において、 $t = \ln \Lambda_1 / \Lambda_2$ だけ違う2点 $A_1(t=0), A_2(t=t)$ に着目

$$\delta a_1(t) = e^{(2-\epsilon/3)t} \delta a_1(0)$$

Note : 2点 A_1, A_2 の理論はスケールの違い Λ_1 / Λ_2 以外は同一

$$\begin{aligned} \xi(t) &= e^{-t} \xi(0) & (\text{mass})(t) &= e^t (\text{mass})(0) \\ &= \xi(0) \left(\frac{\delta a_1(t)}{\delta a_1(0)} \right)^{-\frac{1}{2-\epsilon/3}} & \Rightarrow \nu &= \frac{1}{2-\epsilon/3} \end{aligned}$$

(2) 臨界指数 η : 固定点近傍での場の異常次元

$$\eta(t) = \frac{d \ln Z(t)}{dt}, \quad \eta = \eta(a_i^*) = O(\epsilon^2)$$

(C) スケーリング則とくり込み群

(1) 臨界指数 β : 場の期待値 $\langle \phi \rangle$ と理論の parameter $a(T) = a_1$ との関係

$$\langle \phi \rangle \propto (-\delta a_1)^\beta \quad (\tau < 0)$$

Wilson-Fisher fixed point の近傍を通る RG flow 上の2点 $A_1(t=0), A_2(t=t)$

$$\delta a_1(t) = e^{t/\nu} \delta a_1(0)$$

Note : $\dim[\phi] = (d-2+\eta)/2$

$$\begin{aligned} \langle \phi \rangle(t) &= \langle \phi \rangle(0) e^{(d-2+\eta)t/2} \\ &\propto (\delta a_1(t))^{\nu(d-2+\eta)/2} \quad \Rightarrow \quad \beta = \frac{\nu}{2}(d-2+\eta) \end{aligned}$$

(2) 臨界指数 γ

$$\chi^{-1} = \langle d^2 V(\phi)/d\phi^2 \rangle \propto (\delta a_1)^\gamma$$

Note : $\dim[\chi^{-1}] = 2 - \eta$

$$\begin{aligned} \chi^{-1}(t) &= \chi^{-1}(0) e^{(2-\eta)t} \\ &\propto (\delta a_1(t))^{\nu(2-\eta)} \quad \Rightarrow \quad \gamma = \nu(2-\eta) \end{aligned}$$

(D) 臨界指数のスキーム非依存性

臨界指数は、一般にベータ関数を $\{\beta_i\}$ 、fixed point を $\{g_i^*\}$ として、次の行列の固有値で与えられる。

$$\Omega_i^j = \frac{\partial \beta_i}{\partial g_j}(g^*)$$

ベータ関数はくり込みのスキームや parameter の定義などに依存。
しかし、臨界指数はこれらに依らない。

⇒ 次元と対称性のみで決まる universal な量

今簡単のため、 $g_1 = g_1(g_2)$ とする。

$$\beta_1(g_1) = \Lambda \frac{dg_1}{d\Lambda} = \Lambda \frac{dg_2}{d\Lambda} \frac{dg_1}{dg_2} = \beta_2(g_2) \frac{dg_1}{dg_2}$$

臨界指数：

$$\frac{d\beta_1(g_1)}{dg_1} = \frac{d\beta_2(g_2)}{dg_2} \frac{dg_2}{dg_1} \frac{dg_1}{dg_2} + \beta_2(g_2) \frac{d}{dg_1} \left(\frac{dg_1}{dg_2} \right)$$
$$\left. \frac{d\beta_1(g_1)}{dg_1} \right|_{g_1^*} = \left. \frac{d\beta_2(g_2)}{dg_2} \right|_{g_2^*} \Rightarrow \nu_1 = \nu_2$$

(E) 摂動展開の破綻

(mass)² への1-loop 補正

$$\begin{aligned} m^2 &= m_0^2 + \lambda \int^{\Lambda} \frac{d^d k}{(2\pi)^d} \frac{1}{k^2 + m^2} - \delta m^2 && \text{2次発散の相殺} \\ &= \Delta m_0^2 - \lambda m^2 \int^{\Lambda} \frac{d^d k}{(2\pi)^d} \frac{1}{k^2(k^2 + m^2)} && (\Delta m_0^2 \equiv m_0^2 - m_{\text{cr}}^2) \\ &= \Delta m_0^2 \left\{ 1 - 3\lambda \int^{\Lambda} \frac{d^d k}{(2\pi)^d} \frac{1}{k^2(k^2 + \Delta m_0^2)} + O(\lambda^2) \right\} && (m^2 = \Delta m_0^2 + O(\lambda)) \\ &= \Delta m_0^2 \left\{ 1 + \lambda A_4 \ln \frac{\Lambda^2}{\Delta m_0^2} + O(\lambda^2) \right\} && \Rightarrow \text{(tree)} \ll \text{(one-loop)!} \end{aligned}$$

臨界点の近くでは、大きな対数補正によって摂動展開は破綻する

くり込み群による評価： $(\Delta m_0^2 = \delta a_1(0)\Lambda^2)$

$$m^2 \sim \Delta m_0^2 \left(\frac{\Lambda^2}{\Delta m_0^2} \right)^{A_4 \lambda} = \Delta m_0^2 \left(1 + \lambda A_4 \ln \frac{\Lambda^2}{\Delta m_0^2} + \dots \right)$$

3. 3次元スカラー理論

(A) ERG 方程式

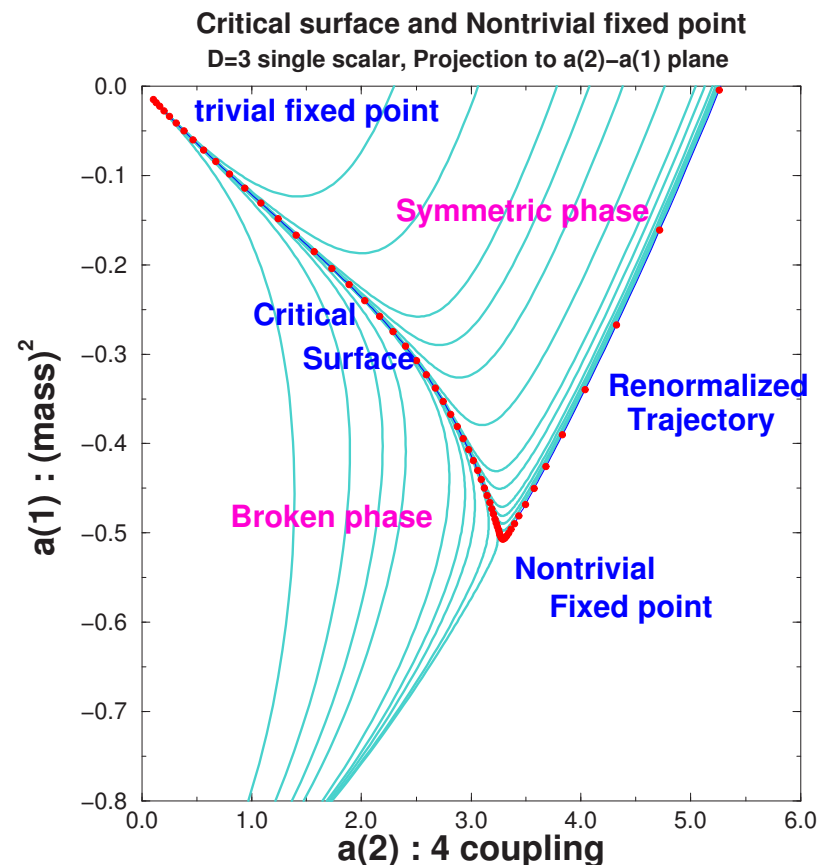
Non-trivial fixed point は強結合

⇒ 非摂動的解析が必要

局所ポテンシャル近似:

$$S_{\text{eff}} = \int d^d x \frac{1}{2} (\partial_\mu \phi)^2 + V_{\text{eff}}(\phi)$$
$$\frac{dV_{\text{eff}}}{dt} = dV_{\text{eff}} - \frac{d-2}{2} \phi V'_{\text{eff}}(\phi) + \frac{A_d}{2} \ln \left(+V''_{\text{eff}}(\phi) \right)$$

⇒ fixed point, critical exponent ν



(B) 臨界指数の評価 :

知られている結果 :

指数	LPA1	LPA2	NLPA	best
ν	0.69	0.66	0.62	0.630
η	0	0	0.054	0.035

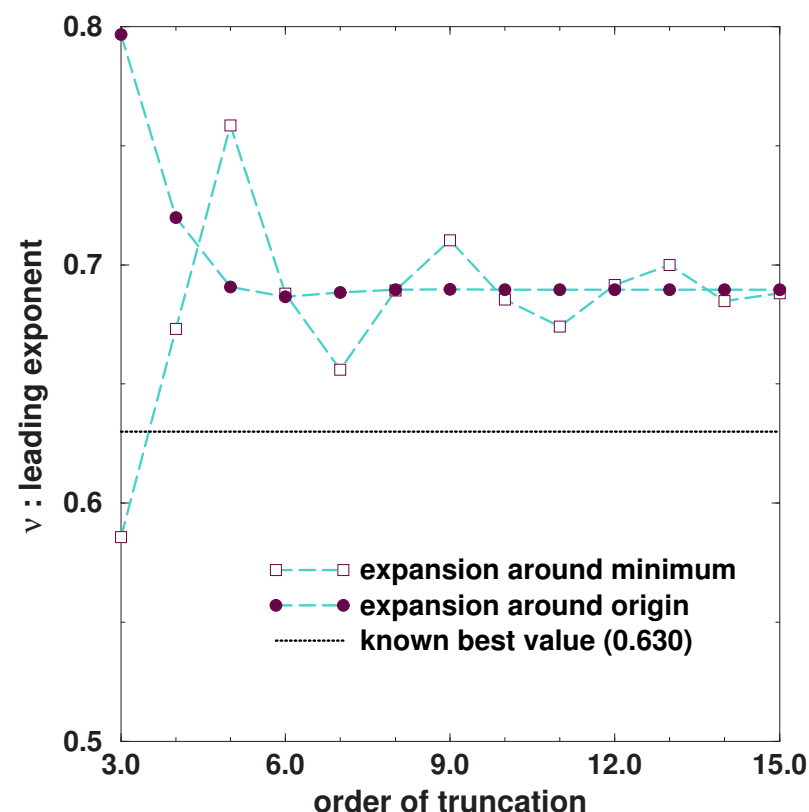
LPA1 : sharp cutoff

LPA2 : smooth cutoff

NLPA : up to $O(\partial^2)$

best : ϵ 展開, 摂動展開, 格子シミュレーション

Operator展開の結果も理論空間の拡大とともに収束 (右図)



- Wilson くり込み群は、臨界現象の定性的な理解を与えるだけでなく、定量的に比較的良い非摂動的な解析方法としても期待される。

(C) 3次元非線形シグマ模型

次元が1少ないRenormalized trajectoryの与える理論は？

N スカラー理論： $\phi = (\phi^1, \phi^2, \dots, \phi^N)$

$$S = \int d^d x \frac{1}{2} (\partial_\mu \phi^i)^2 + \frac{a_1}{2} (\phi^i)^2 + \frac{a_2}{8} ((\phi^i)^2)^2$$

⇒ 同様のRG flow： $a_2 \longrightarrow a_2^*$

Wilson 有効作用 (broken phase):

$$\begin{aligned} S_{\text{eff}} &\sim \int d^d x \frac{1}{2} (\partial_\mu \phi^i)^2 + \lambda^* ((\phi^i)^2 - f^2)^2 \quad (\lambda^* \equiv a_2^*/8, f^2 \equiv -2a_1/a_2^*) \\ &= \int d^d x \frac{f^2}{2} (\partial_\mu u^i)^2 + \boxed{\lambda^* f^4 ((u^i)^2 - 1)^2} \Rightarrow \delta((u^i)^2 - 1) \text{ for large } f \\ &\rightarrow \int d^d x \frac{f^2}{2} (\partial_\mu u^a)^2 + \frac{f^2}{2} (u^a \partial_\mu u^a)^2 + \dots \end{aligned}$$

非線形シグマ模型：
摂動的にくり込み不可能

- Renormalized trajectoryは非線形シグマ模型 (universality class)
- 3次元非線形シグマ模型は非摂動的にくり込み可能 (連続極限が取れる)
UV fixed pointの存在によるくり込み可能性 (asymptotic safety) の例

4. 4-fermi相互作用とカイラル対称性の自発的破れ

(A) 4-fermi couplingのくり込み群

簡単のために、次の有効作用の4-fermi coupling G のくり込み群を考える。

$$S_{\text{eff}} = \int d^4x \bar{\psi} \not{\partial} \psi + m \Lambda (\bar{\psi} \psi) - \frac{G}{2\Lambda^2} (\bar{\psi} \psi)^2$$

カイラル対称性 (massless理論)

$$\psi \rightarrow \gamma_5 \psi \quad \Rightarrow \quad \bar{\psi} \psi \rightarrow -\bar{\psi} \psi$$

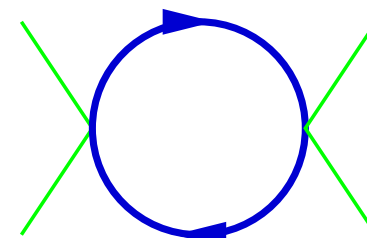
カイラル対称性が massless $m = 0$ を保つ

4-fermi couplingのベータ関数 ($m = 0$):

Shell mode 積分:

$$S_{\text{shell}} = \int_p' \bar{\psi}_s(-p)(i\not{p})\psi_s(p) - \frac{G}{\Lambda^2} (\bar{\psi}_<\psi_<)(\bar{\psi}_s(-p)\psi_s(p)) + \dots$$

$$\Rightarrow \frac{dG}{dt} = -\beta_G = -2G + \frac{1}{2\pi^2} G^2$$



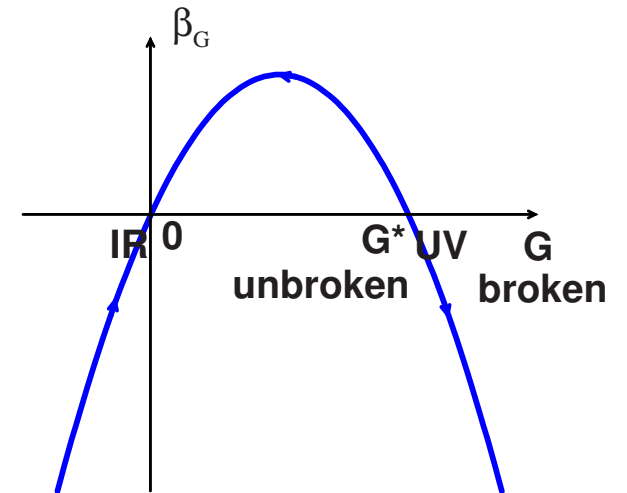
固定点と異常次元

$$\beta_G = 0 \Rightarrow G^* = \begin{cases} 0 & \text{IR attractive} \\ 4\pi^2 = G_{\text{cr}} & \text{IR repulsive} \end{cases}$$

4-fermi coupling の異常次元 :

$$\frac{d}{dt}\delta G = \left(-2 + \frac{G^*}{\pi^2}\right)\delta G = 2\delta G$$

$$\Rightarrow \begin{cases} \dim[G] = -2 & : \gamma_G = 0 & \text{at } G = 0 \\ \dim[G] = 2 & : \gamma_G = 4 & \text{at } G = G_{\text{cr}} \end{cases}$$



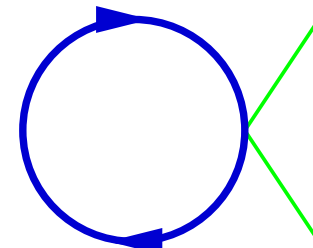
Irrelevant at $G = 0 \rightarrow$ Relevant at $G = G_{\text{cr}}$

mass parameter m の異常次元 :

$$\frac{d}{dt}m = m - \frac{m}{2\pi^2}G$$

$$\dim[m] = 3 : \gamma_m = 2 \quad \text{at } G = G_{\text{cr}}$$

$$\dim[\bar{\psi}\psi] = 1$$



(B) Large N Gross-Neveu 模型のERG

$$S_{\text{eff}} = \int d^4x \bar{\psi}_i \not{\partial} \psi^i - \frac{G_4}{2N\Lambda^2} (\bar{\psi}_i \psi^i)^2 + \frac{G_8}{8N^3\Lambda^8} (\bar{\psi}_i \psi^i)^4 + \dots \quad (i = 1, \dots, N)$$

Wegner-Houghton 方程式 :

$$\frac{dV_{\text{eff}}}{dt} = 4V_{\text{eff}}(\sigma) - 3\sigma V'_{\text{eff}}(\sigma) - \frac{1}{4\pi^2} \ln(1 + V'_{\text{eff}}(\sigma)^2), \quad N\sigma \equiv \bar{\psi}_i \psi^i$$

Operator 展開 :

$$\begin{cases} \dot{G}_4 &= -2G_4 + \frac{1}{2\pi^2} G_4^2 & \Rightarrow G_4^* = G_{\text{cr}} = 4\pi^2 \\ \dot{G}_8 &= -8G_8 + \frac{2}{\pi^2} G_4 G_8 + \frac{3}{\pi^2} G_4^2 & \Rightarrow G_8^* \text{は存在しない} \\ \vdots & & \end{cases}$$

Note:

- Large N 極限で正確。
- 高次の coupling は低次の coupling の RG flow に効かない。 (massless の場合)
- Non-trivial fixed point は存在しない。 $G = G_{\text{cr}}$ は相境界
- 4次元理論はくり込み不可能 (3次元では非摂動的にくり込み可能)。
((G_4, G_8) の空間での renormalized trajectory を具体的に見てください。)

(C) 南部・Jona-Lasinio (NJL) 模型

1 flavor の場合 :

$$S_{\text{NJL}} = \int d^4x \bar{\psi} \not{\partial} \psi + \frac{G_S}{2\Lambda_0^2} [(\bar{\psi}\psi)^2 + (\bar{\psi}i\gamma_5\psi)^2]$$

カイラル対称性

$$\delta\psi = i\theta\gamma_5\psi \Rightarrow \begin{cases} \delta(\bar{\psi}\psi) & = 2\theta(\bar{\psi}i\gamma_5\psi) \\ \delta(\bar{\psi}i\gamma_5\psi) & = -2\theta(\bar{\psi}\psi) \\ \delta(\bar{\psi}\gamma_\mu\psi) & = \delta(\bar{\psi}\gamma_5\gamma_\mu\psi) = 0 \end{cases}$$

Chiral and parity invariant 4-fermi operators :

$$\mathcal{O}_1 = (\bar{\psi}\psi)^2 + (\bar{\psi}i\gamma_5\psi)^2 = -\frac{1}{2} \{(\bar{\psi}\gamma_\mu\psi)^2 - (\bar{\psi}\gamma_5\gamma_\mu\psi)^2\} \quad (\text{Fiertz 変換})$$

$$\mathcal{O}_2 = (\bar{\psi}\gamma_\mu\psi)^2 + (\bar{\psi}\gamma_5\gamma_\mu\psi)^2$$

Wilsonian 有効作用

$$S_{\text{eff}} = \int d^4x \bar{\psi} \not{\partial} \psi + \frac{G_S}{2\Lambda^2} \mathcal{O}_1 + \frac{G_V}{2\Lambda^2} \mathcal{O}_2 + \dots$$

4-fermi couplingのくり込み群方程式 : ($g_S = G_S/4\pi^2$, $g_V = G_V/4\pi^2$)

$$\dot{g}_S = -2g_S + \frac{3}{2}g_S^2 + 4g_Sg_V \quad \times \leftarrow \text{diagrams}$$

$$\dot{g}_V = -2g_V + \frac{1}{4}g_S^2$$

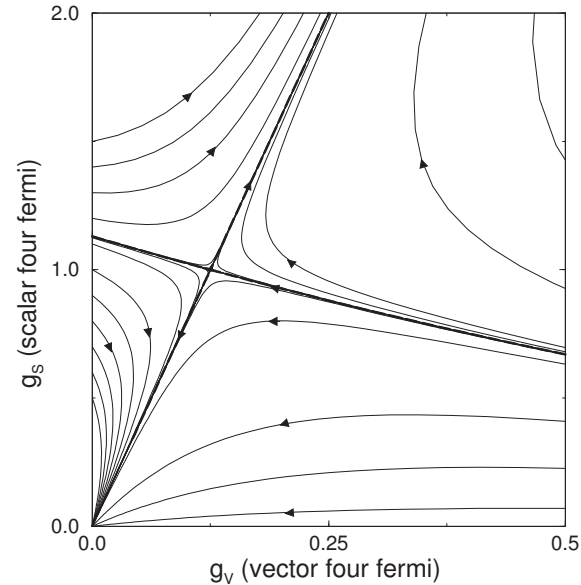
g_S, g_V 空間での相構造 :

- カイラル対称性の臨界面
 $(g_S^*, g_V^*) = (1, 1/8)$
- Scalar 4 fermi operator \mathcal{O}_1 の生成
 \Rightarrow カイラル対称性の破れ

臨界面上の異常次元:(固定点で線形化)

$$\frac{d}{dt} \begin{pmatrix} \delta g_S \\ \delta g_V \end{pmatrix} = \begin{pmatrix} -2 + 3g_S^* + 4g_V^* & 4g_S^* \\ g_S^*/2 & -2 \end{pmatrix} \begin{pmatrix} \delta g_S \\ \delta g_V \end{pmatrix} = \begin{pmatrix} 3/2 & 4 \\ 1/2 & -2 \end{pmatrix} \begin{pmatrix} \delta g_S \\ \delta g_V \end{pmatrix}$$

relevant operator : $\mathcal{O}_{rel} = \mathcal{O}_1 - \frac{1}{8}\mathcal{O}_2$ $\dim[\mathcal{O}_{rel}] = 2$



(D) カイラル対称性の自発的破れ

Large N Gross-Neveu 模型 :

$$S_{\text{GN}} = \int d^4x \bar{\psi}_i \not{\partial} \psi^i - \frac{G}{2N} (\bar{\psi}_i \psi^i)^2$$

補助場の方法 : 複合場の operator $N\sigma = \bar{\psi}_i \psi^i$ を導入

$$\begin{aligned} Z &= \int \mathcal{D}\psi \mathcal{D}\bar{\psi} \mathcal{D}\sigma \exp \left\{ - \int d^4x \bar{\psi} (\not{\partial} - G\sigma) \psi + \frac{GN}{2} \sigma^2 \right\} \\ &= \int \mathcal{D}\sigma (\text{Det}(\not{\partial} - G\sigma))^N e^{-N \int d^4x \frac{G}{2} \sigma^2} \\ &= \int \mathcal{D}\sigma e^{-N \int d^4x \frac{G}{2} \sigma^2 - \text{Tr} \ln(\not{\partial} - G\sigma)} \end{aligned}$$

Large N 極限 : σ の loop 補正は $O(1/N)$ \Rightarrow 古典論

$$V(\sigma) = \frac{G}{2} \sigma^2 - \text{Tr} \ln(\not{\partial} - G\sigma) = \frac{G}{2} \sigma^2 - \int \frac{d^4p}{(2\pi)^4} \text{tr} \ln(-i\not{p} - G\sigma)$$

$$dV(\sigma)/d\sigma = 0 \quad \Rightarrow \quad N\langle\sigma\rangle = \langle\bar{\psi}_i \psi^i\rangle \quad \text{が決まる}$$

Note : 古典的 Landau 理論に対応 ($M \leftrightarrow \sigma$)

(E) Gap 方程式と Wilson くり込み群

Large N Gross-Neveu 模型での対応：

Wilson RG と同様に、 $\psi = \psi_c + \psi_>$ と分離し $\psi_>$ による量子補正を取り入れる。

Gap 方程式： $(N\sigma_c = \bar{\psi}_{ci}\psi_c^i)$

$$\Sigma = -G\sigma_c + G \int_{\Lambda}^{\Lambda_0} \frac{d^4p}{(2\pi)^4} \text{tr} \left(\frac{1}{-i\not{p} + \Sigma} \right) \Rightarrow \Sigma = \Sigma(\sigma_c, \Lambda)$$

$\Sigma(\sigma_c, \Lambda)$ のスケール依存性をみると

$$\begin{aligned} \Lambda \frac{\partial \Sigma}{\partial \Lambda} &= -G \int_{|p|=\Lambda} dp \text{tr} \left(\frac{1}{-i\not{p} + \Sigma} \right) - G \int_{\Lambda}^{\Lambda_0} dp \text{tr} \frac{1}{(-i\not{p} + \Sigma)^2} \Lambda \frac{\partial \Sigma}{\partial \Lambda} \\ &= - \int_{|p|=\Lambda} dp \text{tr} \left(\frac{1}{-i\not{p} + \Sigma} \right) \frac{\partial \Sigma}{\partial \sigma_c} \end{aligned}$$

$V_{\text{eff}}(\sigma_c; \Lambda)$ の Wegner-Houghton 方程式：

$$\Lambda \frac{\partial V_{\text{eff}}}{\partial \Lambda} = - \int_{|p|=\Lambda} dp \text{tr} \ln(-i\not{p} + V'_{\text{eff}}(\sigma_c)) \Rightarrow \begin{aligned} \text{対応: } \Sigma(\sigma_c) &= V'_{\text{eff}}(\sigma_c) \\ &= \text{“effective mass”} \end{aligned}$$

5. ゲージ理論のカイラル相構造

(A) 4-fermi coupling のくり込み群

Wilsonian 有効作用 (massless QED, 1 flavor):

$$S_{\text{eff}} = \int d^4x \left\{ \frac{1}{4} F_{\mu\nu}^2 + \frac{1}{2\alpha} (\partial \cdot A)^2 + \bar{\psi} (\not{\partial} + eA) \psi - \frac{G_S}{2\Lambda^2} [(\bar{\psi}\psi)^2 + (\bar{\psi}i\gamma_5\psi)^2] + \frac{G_V}{2\Lambda^2} [(\bar{\psi}\gamma_\mu\psi)^2 + (\bar{\psi}\gamma_5\gamma_\mu\psi)^2] \right\}$$

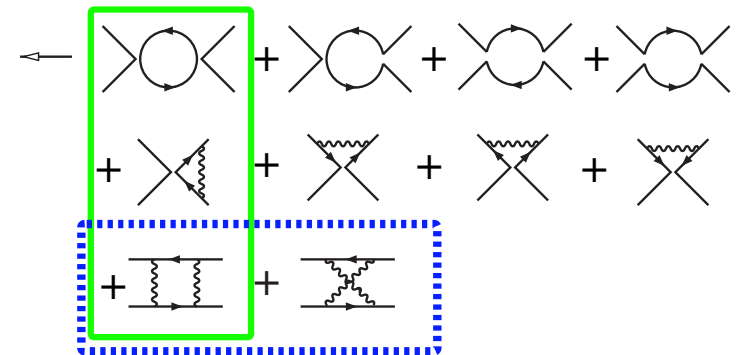
まず、4-fermi coupling G_S, G_V への補正のみ扱ったくり込み群を見よう。
 (gauge coupling e は一定, $\lambda \equiv 3e^2/4\pi^2$)

$$g_S = -2g_S + \frac{3}{2}g_S^2 + 4g_Sg_V + g_S\lambda + \frac{1}{6}\lambda^2 \times$$

$$g_V = -2g_V + \frac{1}{4}g_S^2 - g_V\lambda - \frac{1}{12}\lambda^2$$

Note : gauge parameter α に依らない。

large N ladder part



gauge independent set

(B) 4-fermi couplingの“固定点”と相構造

4-fermi couplingのRG flow :

- $(A - B)$: IR unstable
- $(O - B)$: IR attractive
- 相境界 (カイラル対称性の破れ)
- Critical gauge coupling : $(\lambda \sim 1.03)$

Large N ladder 近似 :

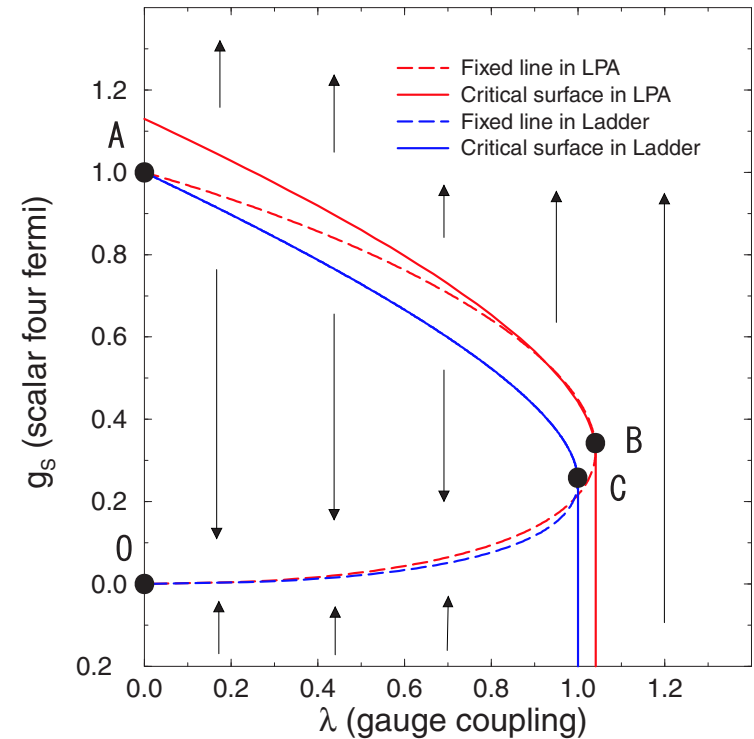
Ladder diagram はゲージ parameter に依る。
Landau gauge ($\alpha = 0$) の場合

$$\dot{g}_S = -2g_S + 2g_S^2 + g_S\lambda + \frac{1}{2}\lambda^2$$

“Fixed point” line:

$$g_S^*(\lambda) = (1 \pm \sqrt{1 - \lambda})^2 / 4$$

$$\begin{cases} + : (A - C) \cdots & \text{IR unstable} \\ - : (O - C) \cdots & \text{IR attractive} \end{cases}$$



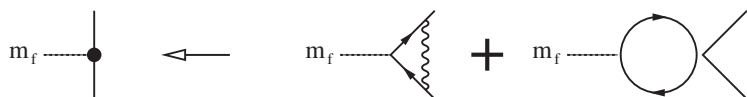
(C) 異常次元

“固定点”での異常次元：

1. mass parameter m の異常次元：

$$\dot{m} = (1 + \gamma_m)m + O(m^3)$$

$$\gamma_m = 2g_S^*(\lambda) + \lambda/2$$



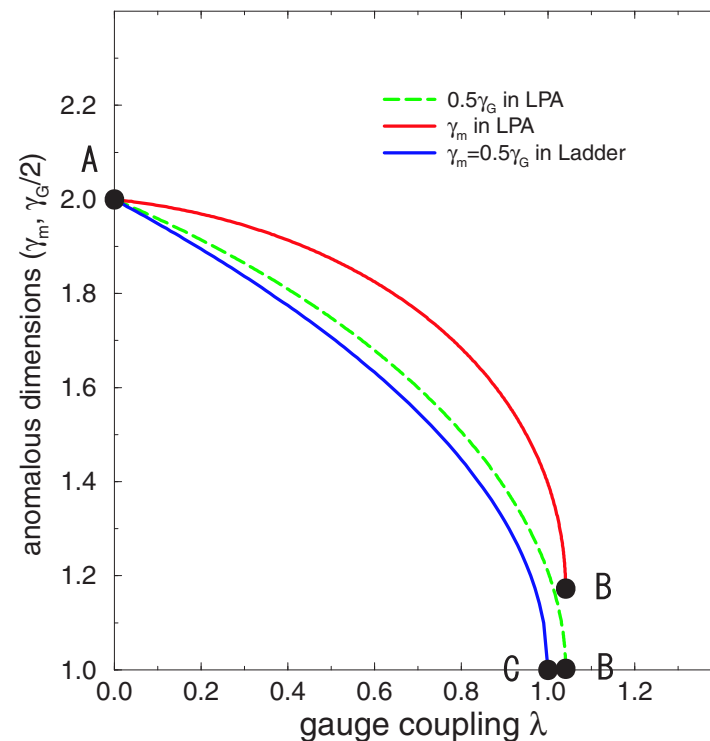
2. 4-fermi coupling G_S の異常次元：

4-fermi coupling のベータ関数の微小解析

large N ladder approximation

$$\gamma_G = 4g_S^*(\lambda) + \lambda = 2(1 \pm \sqrt{1 - \lambda}) = 2\gamma_m$$

Note : Non-ladder diagram まで取り入れた解析では、 $\gamma_m > \gamma_G/2$



	$\dim[\bar{\psi}\psi]$	$\dim[(\bar{\psi}\psi)^2]$
A	1	2
B	$\sim 1.8 < 2$	4
C	2	4

(D) Gauge couplingのrunning

Gauge couplingの扱い：

ゲージ対称性の問題 \Rightarrow 近似計算でも煩雑

\Rightarrow gauge couplingの補正の最低次 (= 1 loop ベータ関数) でrunning の効果を取り入れる

1. QED like な理論

カイラル対称性の相境界

2. QCD like な理論

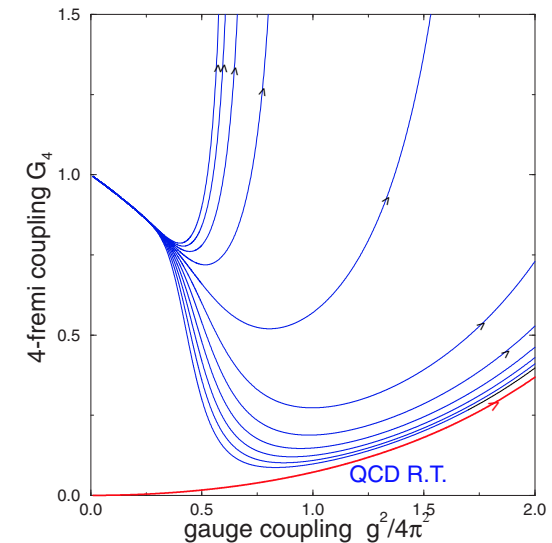
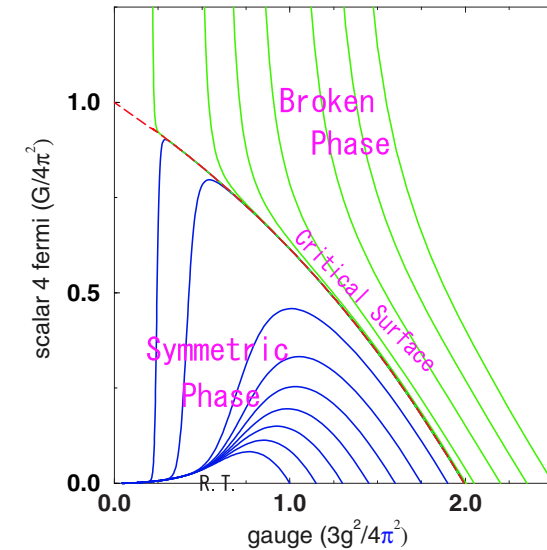
カイラル対称性の破れ

3. スケール不変な理論

“Banks-Zaks fixed point” のgauge coupling の上限

ゲージ場の扱いが摂動的

\Rightarrow 強結合領域での信頼性は？



(E) Dyson-Schwinger 方程式

QED の electron propagator : $\Sigma(p)$: mass function

$$S_F^{-1}(p) = -i\not{p} + g^2 \int_{|k| < \Lambda_0} dk \gamma_\mu S_F(k) \Gamma_\nu(p, k) D_{\mu\nu}(p - k) = -i\not{p} + \Sigma(p)$$

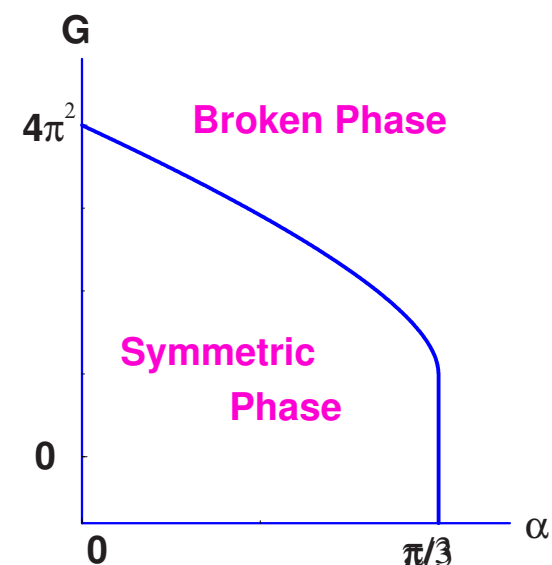
Large N ladder 近似の Gap 方程式 : ($\alpha = g^2/4\pi^2$)

$$\Sigma(k) = \int \frac{d^4p}{(2\pi)^4} \left[G + \frac{3\pi\alpha}{(k-p)^2} \right] \text{tr} \left(\frac{1}{-i\not{p} + \Sigma(p)} \right)$$

$$\Sigma(p) = G + g$$

結果 :

- 相境界、異常次元は Large N ladder part のくり込み群の結果と同じ。
- Large N ladder 近似では、ERG 方程式と DS 方程式の同等性が示される。



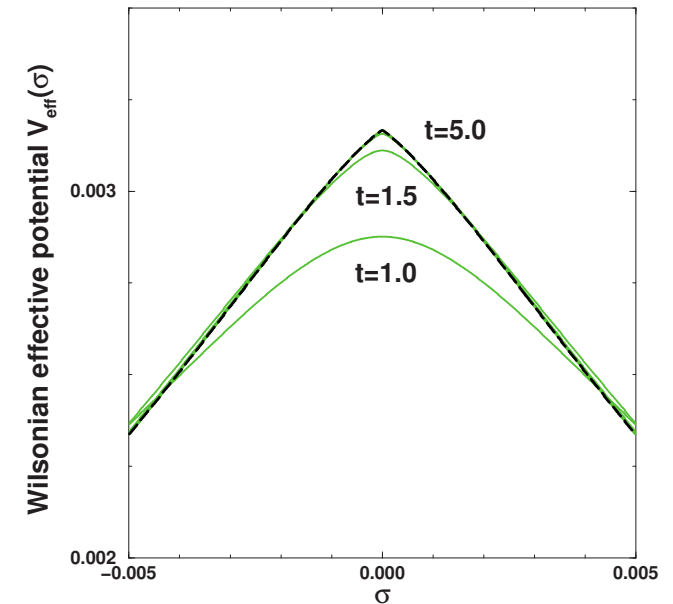
R.Fukuda, T.Kugo (1976)
 K.-I.Kondo, et.al. (1989)
 T.Appelquist, et.al. (1989)
 K.Yamawaki, hep-ph/9603293

6. Wilson くり込み群と dynamical mass

(A) Wilson 有効作用の変化 :

カイラル対称性の破れはどのように現れるのか？

- G_4, G_8, \dots の RG flow は 2 相の相境界を示す。
- これらの RG flow からは対称性の破れは分からず、しかもあるスケールで発散する。(フェルミオン場はカイラル対称性が破れの order parameter ではない。)
- Wilsonian 有効作用はカイラル対称であり、フェルミオンの質量項は決して量子補正からは生じない。



有効ポテンシャルの非解析性 (Large N Gross-Neveu 模型) :

$$m_{\text{eff}} = \lim_{t \rightarrow \infty} \left. \frac{\partial V_{\text{eff}}}{\partial \sigma} \right|_{\sigma=0} \neq 0 \quad \text{in the broken phase}$$

(B) RG flow の“分岐” (特異性の種明かし)

with J.Kato

Wilsonian 有効ポテンシャルのくり込み群方程式:

$$\frac{dV_{\text{eff}}}{dt} = 4V - 3\sigma V_{\text{eff}}(\sigma) - \frac{1}{4\pi^2} \ln(1 + V'_{\text{eff}}(\sigma)^2)$$

$u(\sigma, t) \equiv V'_{\text{eff}}(\sigma, t)$ (“有効質量”) の方程式:

$$u_t + \left(3\sigma + \frac{1}{2\pi^2} \frac{u}{1 + u^2} \right) u_\sigma = u, \quad u(\sigma, t=0) = -G\sigma$$

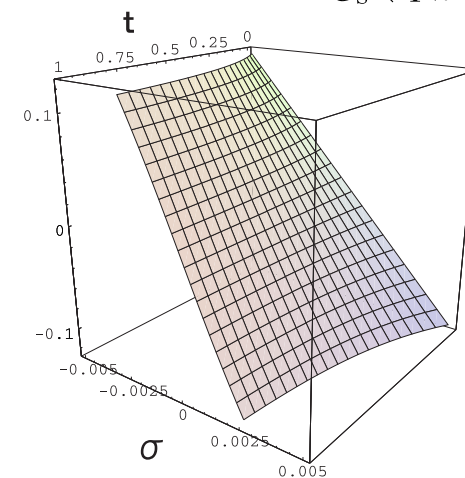
この方程式は $\sigma = \sigma(u)$ として解くことができる。
(quasi linear equation)

$$\frac{d\sigma}{dt} = 3\sigma + \frac{1}{2\pi^2} \frac{u}{1 + u^2}, \quad \frac{du}{dt} = u$$

⇒ 有効ポテンシャル $V_{\text{eff}}(\sigma)$ はある
スケールで2価になる。

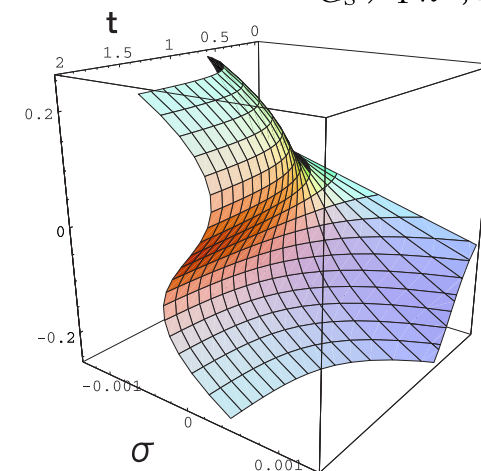
Symmetric Phase

$$G_S < 4\pi^2, \alpha = 0$$



Broken Phase

$$G_S > 4\pi^2, \alpha = 0$$



7. 2日目のまとめとコメント

(A) 非摂動領域の異常次元

強結合領域では大きな異常次元のため豊かな相構造が生じる。

Naive dimensional analysis:

$$\text{Non-trivial fixed point} \Rightarrow \frac{Ng^2}{16\pi^2} \sim 1$$

(B) 素粒子物理との関わり

標準理論のパラメーターの問題：

- Naturalnessの問題(ヒッグス粒子の質量)
⇒ What is the New physics at TeV scale? (超対称理論では μ 問題)
- クォーク・レプトンの質量階層性
(超対称理論ではスクォーク・スレプトンの質量構造)
- Strong CP 問題 (θ 真空)
- 宇宙定数

小さいパラメーターの説明として対称性の破れを通常考える。

(neutrino mass, quark/lepton mass, etc)

⇒ 何らかの強い相互作用による大きな異常次元に起因する可能性

参考文献

- 夏の学校講義録

- 「Wilson流のくり込み群」大川正典.

- 「テクニカラー理論とその周辺」山脇幸一 (1991).

- 「非摂動論的くり込み群」青木健一 (1996).

- 教科書

- J.Zinn-Justin, *Quantum Field Theory and Critical Phenomena*, Oxford University Press (1989).

- N. Goldenfeld, *Lectures on Phase Transitions and the Renormalization Group*, Addison-Wesley (1992).

- Reviews, Lecture Note

- K.G. Wilson and J.B. Kogut, Phys. Rep. **12** (1974) 75.

- E. Brezin, *Applications of the Renormalization Group to Critical Phenomena*, in *Methods in field theory*, North-Holland (1976).

- S.Weinberg, *Critical Phenomena for Field Theories*, in Proc. of the International Subnuclear Physics, Plenum Press (1978).

- J. Polichinski, hep-th/9210046, TASI Lecture note (1992).

- D. B. Kaplan, Lecture note (1995).

- 参考論文

F. Wegner and A. Houghton, Phys. Rev. **A8** (1973) 401.

J. Polchinski, Nucl. Phys. **B231** (1984) 269.

A. Hazenfratz and P. Hazenfratz, Nucl. Phys. **B270** (1986) 269.

T.E. Clark, B. Haeri and S.T. Love, Nucl. Phys. **B402** (1993) 628.

C. Wetterich, Phys. Lett. **B301** (1993) 90.

T. R. Morris, Phys. Lett, **B334** (1994) 355; Int. J. Mod. Phys, **A9** (1994) 2411.

K-I. Aoki et.al. Prog. Theor. Phys. **97** (1997) 479; Prog. Theor. Phys. **99** (1998) 451; Prog. Theor. Phys. **102** (1999) 1151; Phys. Rev. **D61** (2000) 045008; Prog. Theor. Phys. **103** (2000) 815.

K-I. Kubota and H. Terao, Prog. Theor. Phys. **102** (1999) 1163; Prog. Theor. Phys. **105** (2001) 809.

H. Terao, Int. J. Mod. Phys. **A16** (2001) 1913.